

КАЛИБРОВКА И СТАБИЛИЗАЦИЯ ЭНЕРГЕТИЧЕСКОЙ ШКАЛЫ НЕЙТРОННОГО СПЕКТРОМЕТРА С ДИСКРИМИНАЦИЕЙ ГАММА-ФОНА ПО ФОРМЕ ИМПУЛЬСА

С. С. Вербицкий, Б. С. Ратнёр

УДК 539.1.07

Приведены результаты калибровки нейтронного спектрометра и описана система стабилизации его энергетической шкалы.

Спектрометр на основе монокристалла стильбена предназначен для измерения выхода реакции (γ, n) с возможностью регулировать нижнюю границу энергии регистрации протонов отдачи и для измерения энергетического спектра фотонейтронов /1/. В спектрометре осуществлена стабилизация энергетической шкалы с помощью источника реперных импульсов, позволившая получить суммарную нестабильность за длительное время $\sim 1\%$.

Калибровка шкалы спектрометра производилась с помощью нейтронов от РоВе источника. Для контроля точности калибровки был измерен также спектр энергичных фотонейтронов из реакции $^{16}\text{O}(\gamma, n)^{15}\text{O}$.

Стабилизация коэффициента усиления. Использование в спектрометре дискриминации по форме импульса /2/ и работа его с импульсным источником излучения, каким является синхротрон, налагают определенные требования на способ стабилизации. Один из способов стабилизации коэффициента усиления нейтронного спектрометра, описанный в /3/, основан на поддержании постоянным отношения скоростей регистрации γ -квантов в двух разных участках загружающего γ -спектра. Спектр фоновых γ -квантов от синхротрона, однако, изменяется в процессе измерений, что затрудняет применение данного способа. Использование в качестве источника реперных сигналов линий монохроматических γ -квантов или α -частиц приведет к возрастанию фона. В случае использования полупроводниковых светодиодов, обладающих значительной температурной зависимостью /4/, необходимо терmostатирование.

Однако термостатирование спиртиблока с монокристаллом стибена затруднено из-за опасности растрескивания его при включении и выключении системы термостатирования. В качестве источника реперных световых импульсов был выбран поэтому

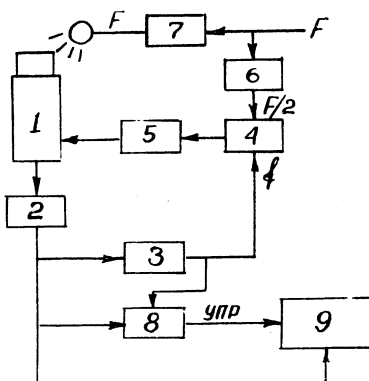


Рис. I. Блок-схема спектрометра нейтронов. 1 - ФЭУ ХР1020; 2 - формирователь биполярного сигнала; 3 - дифференциальный дискриминатор ДД; 4 - схема сравнения частот; 5 - высоковольтный выпрямитель ВС-22; 6 - делитель частоты; 7 - схема питания и поджига тиаратрона TX4Б; 8 - дискриминатор частиц по форме импульса; 9 - анализатор амплитуд импульсов АИ-128

тиратрон TX4Б, обладающий достаточной долговременной стабильностью /5/. Чтобы реперные импульсы не влияли на работу спектрометра, тиаратрон поджигался в начале каждой паузы между импульсами излучения от синхротрона. При работе ускорителя на разных режимах происходило изменение частоты реперных вспышек, связанное с изменением длительности цикла синхротрона. Чтобы исключить влияние изменения частоты и снизить чувствительность к другим факторам, был выбран следующий вариант стабилизации.

Дифференциальный дискриминатор ДД (см. блок-схему на рис. I) нормально срабатывал с частотой, равной половине частоты запуска тиаратрона F . Если почему-либо усиление падало, то частота f срабатываний ДД становилась меньше $F/2$, на выходе схемы срав-

нения частот появлялся сигнал коррекции, увеличивающий выходное напряжение источника питания ФЭУ до тех пор, пока не восстанавливалось исходное усиление.

Проверка работы системы стабилизации. Коэффициент стабилизации по отношению к напряжению питания определялся следующим образом. При изменении выходного напряжения источника питания ФЭУ измерялось (на анализаторе МА-512) положение пика от реферного источника при отключенной системе стабилизации и с ней. Коэффициент стабилизации составляет ~ 40 . Уход выходного напряжения на 10 в виден на индикаторном приборе ВС-22 и может быть откорректирован вручную. Для проверки стабильности усиления спектрометра в течение дня набирались одновременно амплитудные спектры реферных импульсов и калибровочные спектры от генератора точной амплитуды. Последние использовались для учета дрейфа усиления анализатора. В течение 5 часов уходы положения пика реферных импульсов оставались в пределах $\pm 0,15\%$. Кроме этого, энергетический порог контролировался в процессе измерений выхода реакции $^{54}\text{Fe}(\gamma, n)$ по частоте срабатываний ДЦП при облучении детектора гамма-квантами от источника ^{60}Co . Нестабильность ото дня ко дню была меньше 1%. Систематический дрейф коэффициента усиления за 6 месяцев составил менее 0,1%.

Калибровка энергетической шкалы. Калибровка спектрометра производилась по нейтронам от РоВе источника. Спектр нейтронов от РоВе источников изучен теоретически /6/, с помощью методики ядерных фотосемуслей /7, 8/, а также спектрометров, регистрирующих протоны отдачи /9, 10/. Амплитудный спектр сцинтиляций, вызванных нейтронами, измерялся анализатором АИ-128. Работа усилителя АИ-128 с короткими импульсами в пределах точности измерений не приводит к появлению нелинейностей, как видно из рис. 2а. Полученные спектры сцинтиляций от протонов отдачи обрабатывались для восстановления нейтронных спектров /11, 12/. Нейтронные спектры получались численным дифференцированием со скаживанием по формуле

$$N_n(i) = \frac{\varphi(i+1) + \varphi(i+2)}{2} \left\{ \psi(i-2) \sum_{k=1-3}^{k=i-4} N_p(k) - \psi(i+5) \sum_{k=i+4}^{k=i+6} N_p(k) \right\},$$

где $N_p(k)$ – измеренное число отсчетов в канале k , ψ и φ – функции

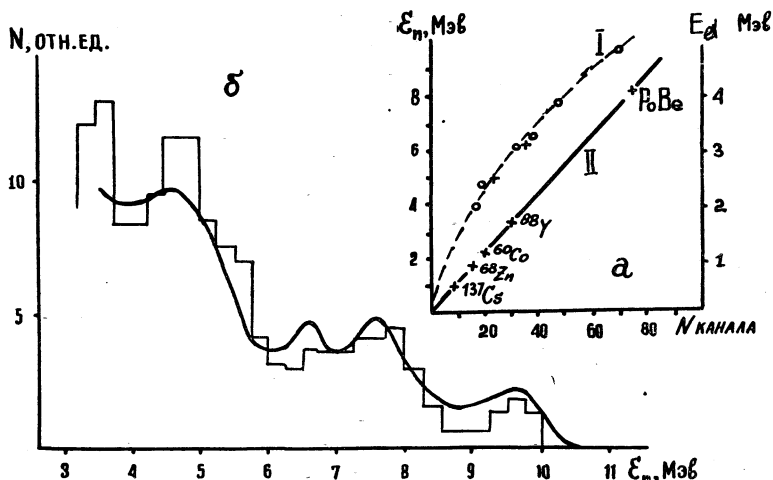


Рис. 2. а) Соотношение между амплитудой импульса (N канала) и энергией нейтрона (I) и комптоновского электрона (II). о - данные измерений с PoBe, х - положение нейтронных пиков в спектре из реакции $^{16}_O(\gamma, n)^{15}_O$. б) Спектр нейтронов от PoBe источника. Гистограмма - данные из /7/, плавная кривая - результаты настоящей работы

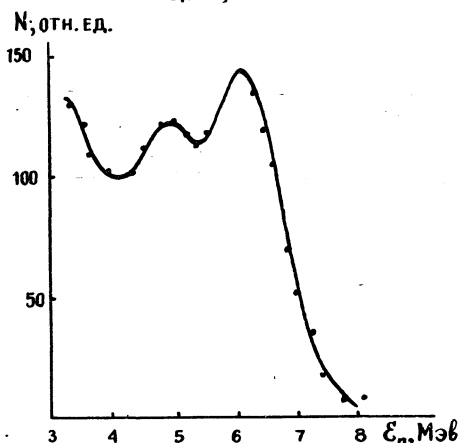


Рис. 3. Спектр нейтронов из реакции $^{16}_O(\gamma, n)^{15}_O$

ции энергии, характеризующие зависимость светового выхода сцинтиляций в стильбене от энергии протона отдачи и эффективность взаимодействия нейтрона с детектором, соответственно. Вычисления производились на ЭВМ "Урал II Б". На рис. 2 приведен нейтронный спектр, полученный с помощью данного спектрометра, а также, для сравнения, результаты ///. Спектр фотонейтронов из реакции $^{16}\text{O}(\gamma, n)^{15}\text{O}$ измерялся при помощи времязадержки /13/, поэтому положение пиков в таком спектре можно считать надежно установленным. Поэтому для проверки точности калибровки спектрометра было предпринято измерение спектра энергичных фотонейтронов при облучении образца H_2O (15 г/см²) пучком тормозного излучения с $E_{\max} = 23,0$ Мэв. Полученный спектр фотонейтронов представлен на рис. 3. Поправка на нейтронный фон не вносилась. Положения пиков в нейтронном спектре, измеренные с данным спектрометром, отличаются от приведенных в /13/ менее, чем на 200 кэв.

Поступила в редакцию
5 июля 1976 г.

Л и т е р а т у р а

1. С. С. Вербицкий, Б. С. Ратнер, А. Н. Сергиевский. Письма в ЖЭТФ, 23, вып. 9, 538 (1976).
2. С. С. Вербицкий. Препринт ИИЯ № 97, 1973 г.
3. В. Г. Бровченко. ПТЭ № I, 98 (1969).
4. М. Н. Омельяненко, В. К. Тюпиков, В. В. Фильченко. ПТЭ № 5, 177 (1968).
5. А. А. Брагин, О. П. Бухало. ПТЭ № 5, 125 (1973).
6. K. W. Geiger and L. Van der Zwan. Nucl. Instr. and Meth., 131, 315 (1975).
7. R. L. Lehman. Nucl. Instr. and Meth., 60, 253 (1968).
8. B. G. Whitemore and W. B. Baker. Phys. Rev., 78, 799 (1950).
9. R. Potenza, A. Rubbino. Nucl. Instr. and Meth., 25, 77 (1963).
- IO. И. Войтовская, В. С. Ессеев, Т. Козловский, В. С. Роганов. Препринт ОИЯИ Р13-6053, г. Дубна, 1971 г.
- II. В. И. Кухтевич, Б. А. Трыков, Л. А. Трыков. Однокристальный сцинтиляционный спектрометр. Атомиздат, Москва, 1971 г.
12. M. E. Toms. Nucl. Instr. 92, 61 (1971).
13. F. W. Firk, K. H. Lokan, P. R. Lett. Phys. Rev., 8, 321 (1962).